

提出日 平成12年 9月29日

頁: 1/ 3

整理番号=P-34146

【書類名】 図面

Fig. 1A

【図中】

Tracing direction

(a)

Fig. 1B

Pitch of V grooves

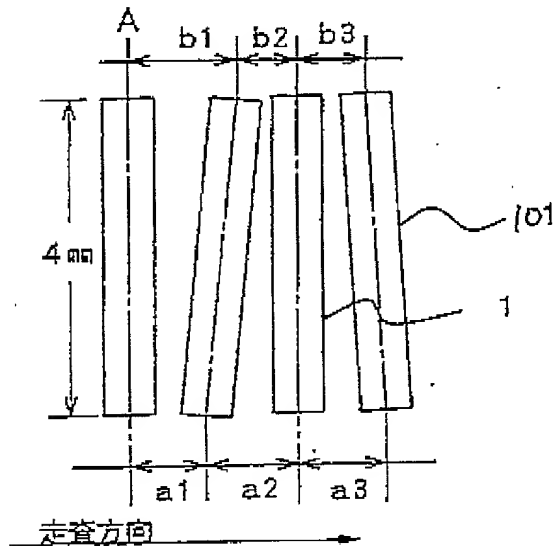


Fig. 1A

(b)

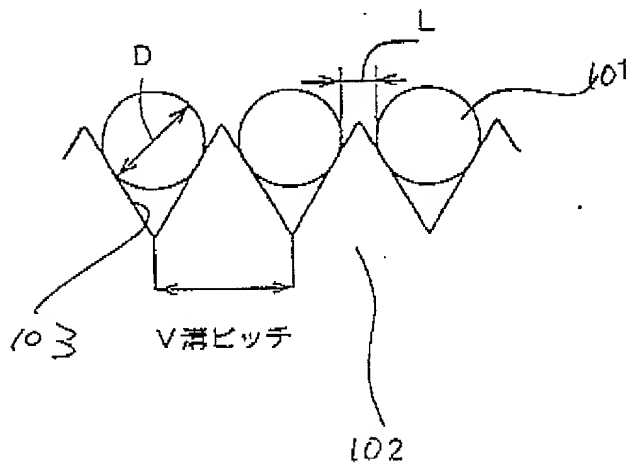


Fig. 1B

T03260-5E249660

提出日 平成12年 9月29日

頁: 2/ 3

整理番号=P-34146

【図2】

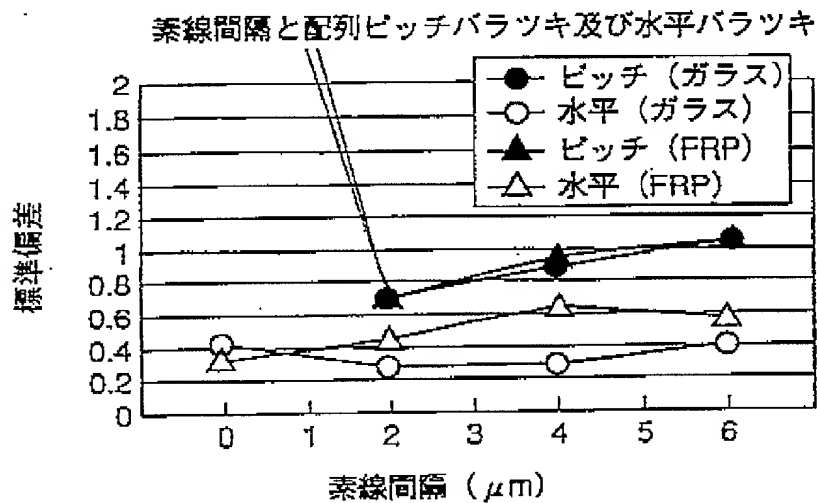


Fig. 2

【図3】

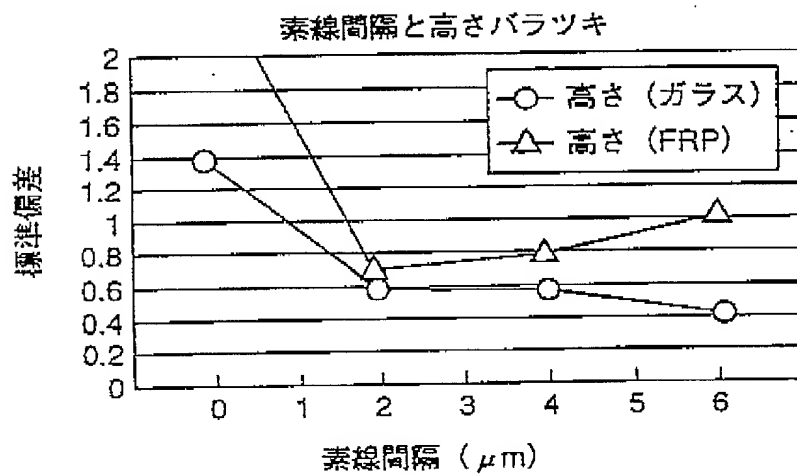


Fig. 3

T03260-9E249660

Fig. 2

Relationship between the spacing of lens preformers and each  
of the variation in alignment pitch and the horizontal  
variation

Standard deviation                      Alignment pitch (glass)

Horizontal                      (glass)

Alignment pitch (FRP)

Horizontal                      (FRP)

Spacing of lens preformers ( $\mu\text{m}$ )

Fig. 3

Relationship between the spacing of lens preformers and the  
height variation

Standard deviation                      Height (glass)

Height (FRP)

Spacing of lens preformers ( $\mu\text{m}$ )

FOB260-EE249660

提出日 平成12年 9月29日

頁: 3/ 3

整理番号=P-34146

【図4】

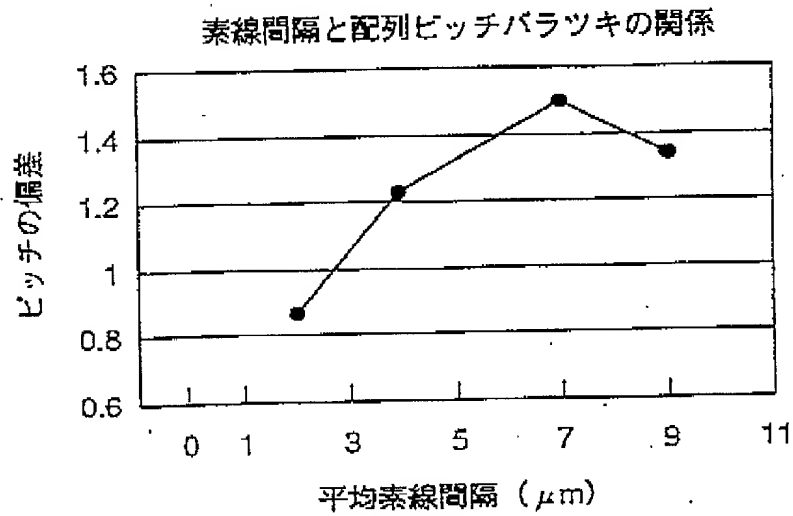


Fig. 4

Fig. 4

Relationship between the spacing of lens preformers and the

variation in alignment pitch

Deviation

Spacing of lens preformers ( $\mu\text{m}$ )

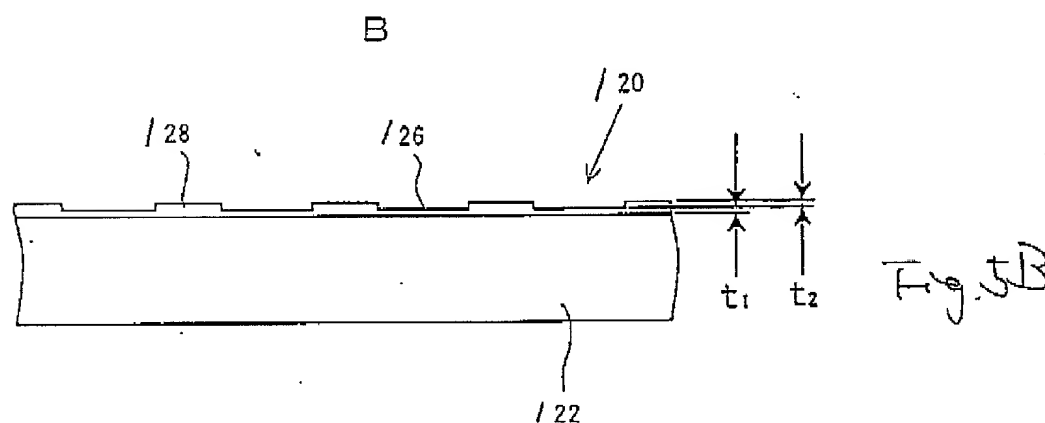
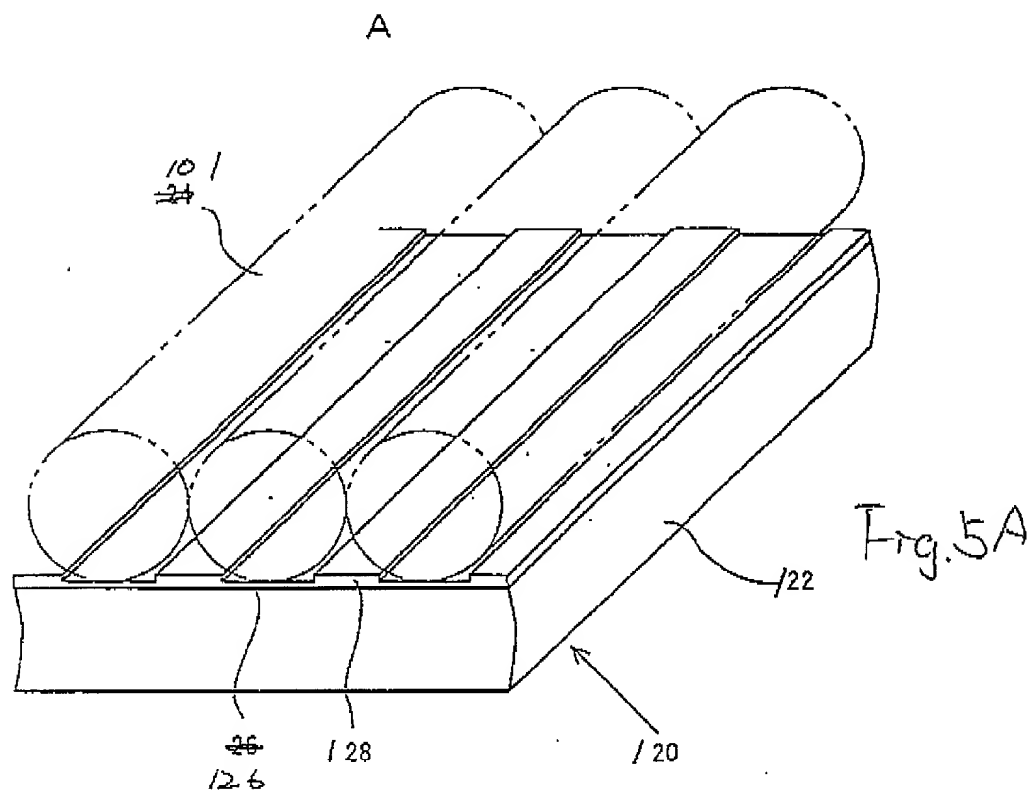
T03260-55249660

整理番号 = PX0059

提出日 平成12年11月10日  
特願2000-343212 頁: 1/ 5

【客類名】 図面

【図名】



整理番号=PX0059

提出日 平成12年11月10日  
特願2000-343212 頁: 2/ 5

【図2】

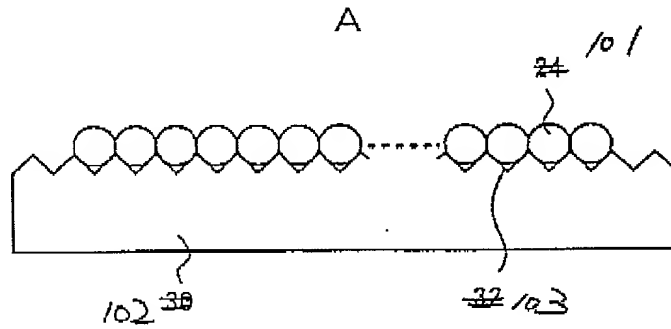


Fig. 6A

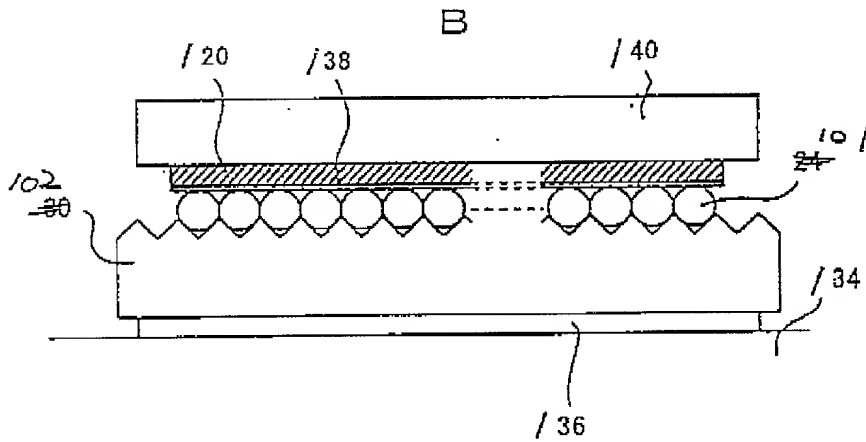


Fig. 6B

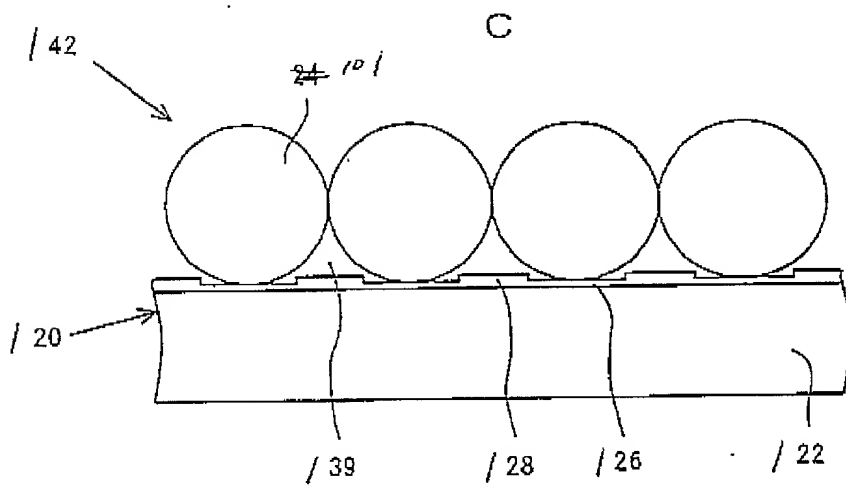


Fig. 6C

FO8260 SE249660

整理番号 = PX0059

提出日 平成12年11月10日  
特願2000-343212 頁: 3/ 5

【図3】

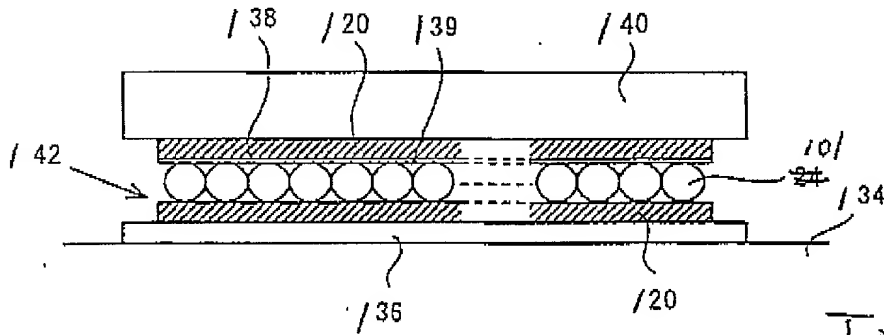


Fig. 7

【図4】

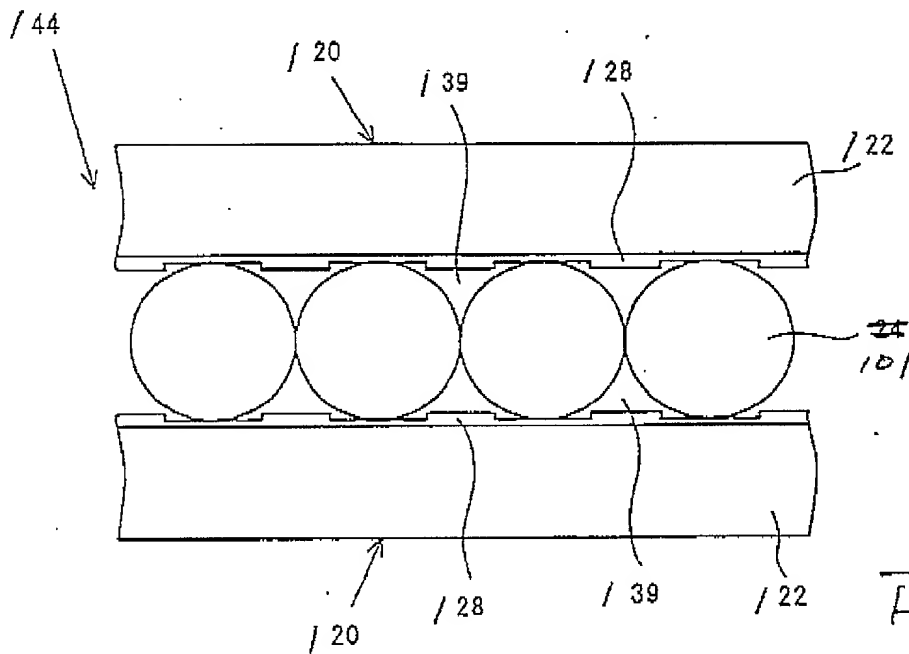


Fig. 8

整理番号 = PX0059

提出日 平成12年11月10日  
特願2000-343212

頁: 4/ 5

【図5】

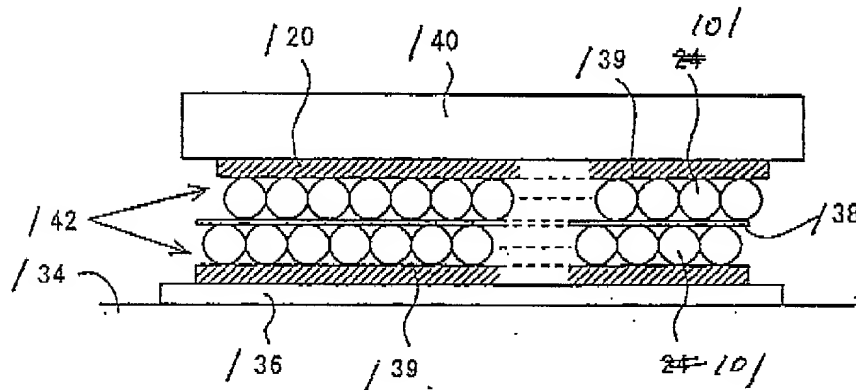


Fig-9

【図6】

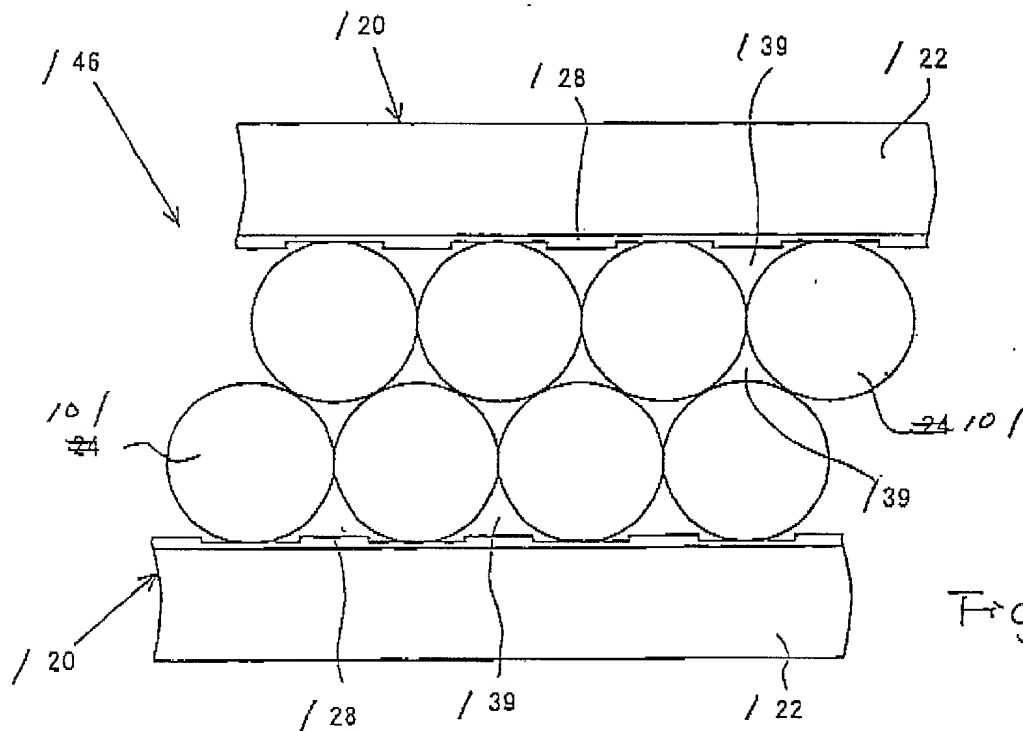


Fig-10



整理番号 = PX0059

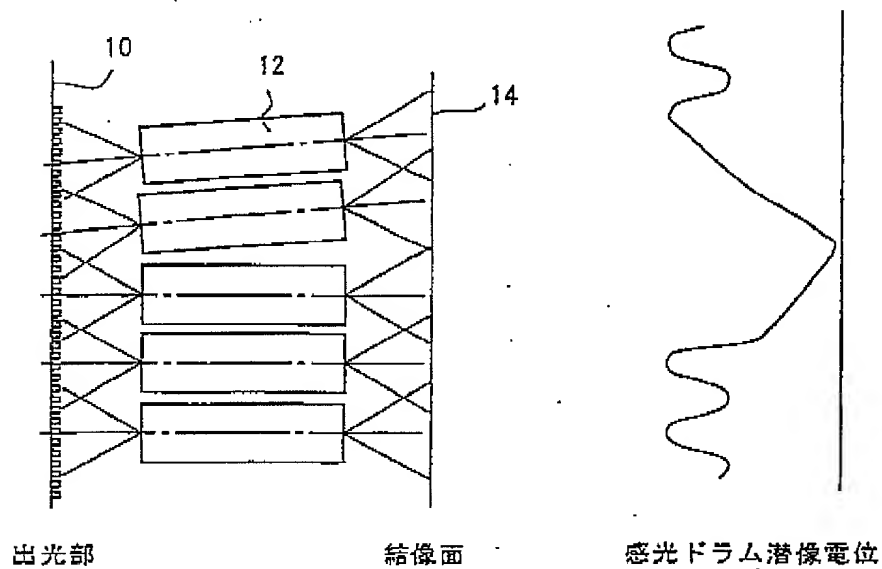
提出日 平成12年11月10日  
特願2000-343212 頁: 5/ 5~~付図2~~

Fig. 11

Fig. 11

Light-emitting portion

Imaging surface

Potential for latent image formation on photoreceptor drum

提出日 平成13年 2月16日

整理番号=PY20002506

頁: 1/ 5

【書類名】

図面

[図1]

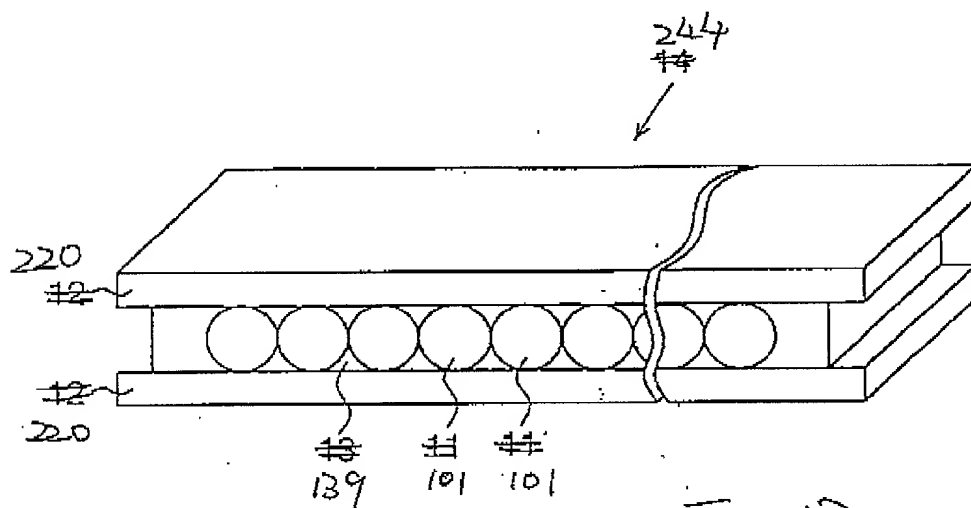


Fig. 12

[図2]

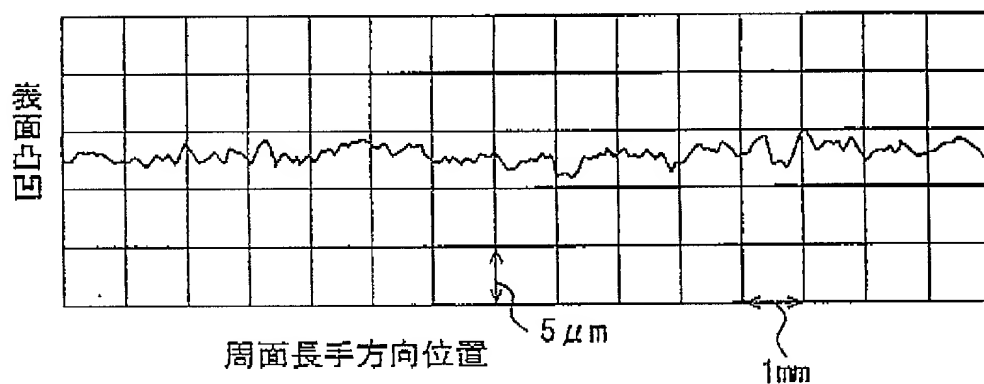


Fig. 13

Surface asperities

Fig. 13

Position on peripheral lens surface in longitudinal direction

T08260 SE49660

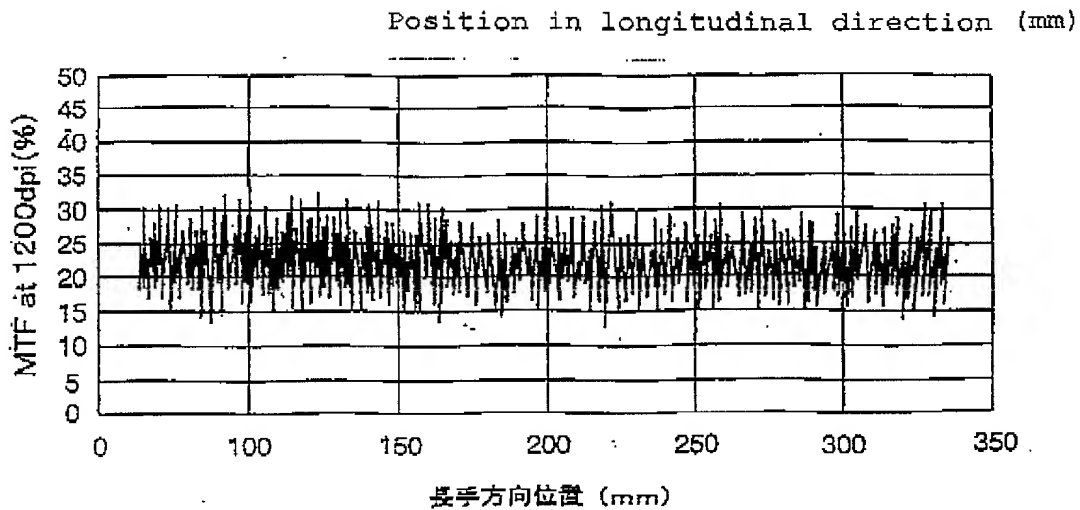
提出日 平成13年 2月16日

5

整理番号 = P Y

[図3]

Fig. 14



Fre. 14

[図4]

Fig. 15

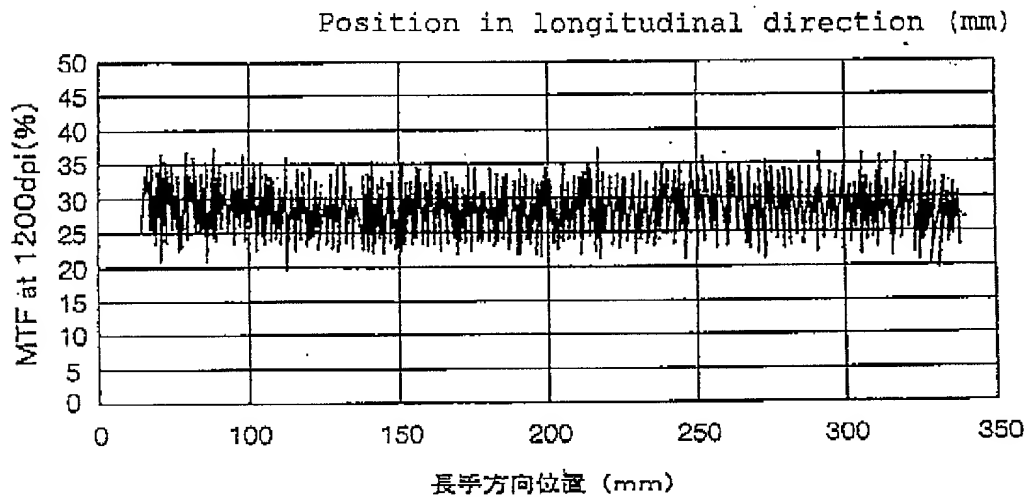


Fig. 15

T08260"SE249660

整理番号 = PY20002506

提出日 平成13年 2月16日

頁: 3 / 5

[図5]

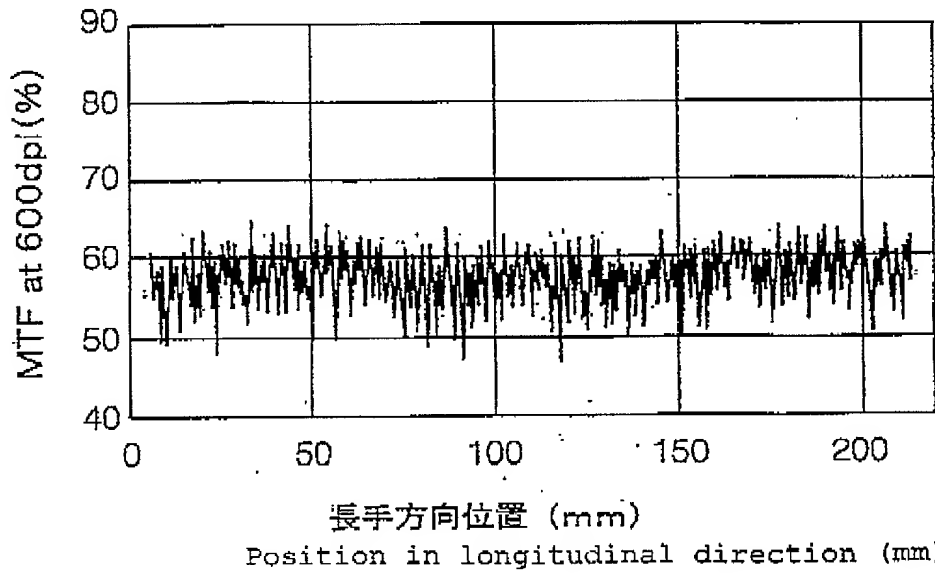


Fig. 16

[図6]

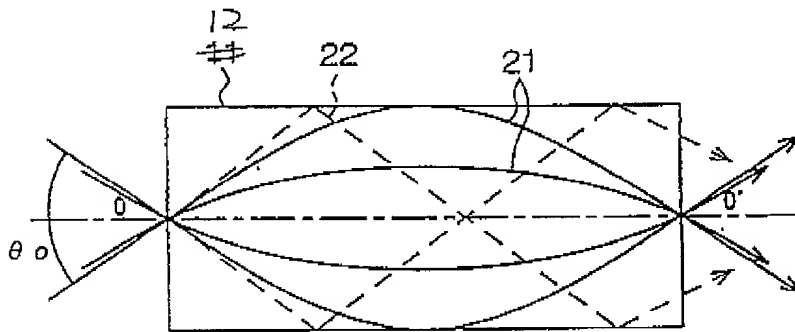


Fig. 17

提出日 平成13年 2月16日

整理番号=PY20002506

頁: 4/ 5

【図7】

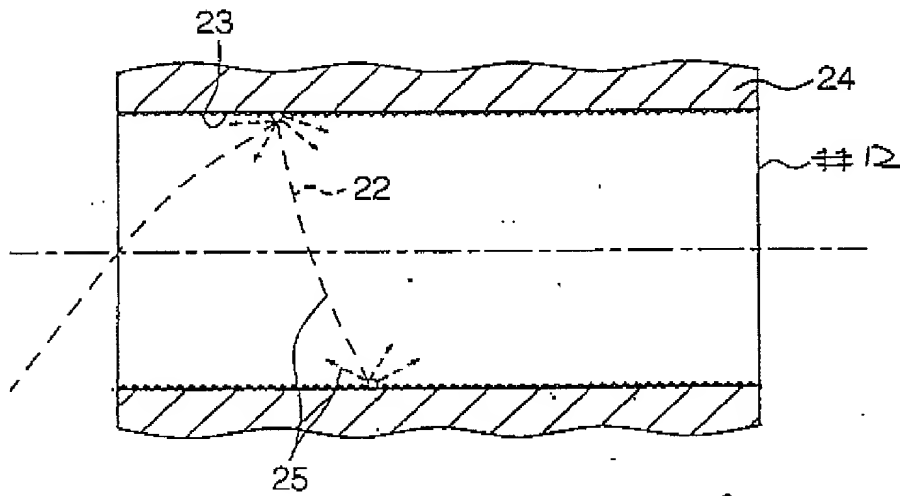


Fig. 18

【図8】

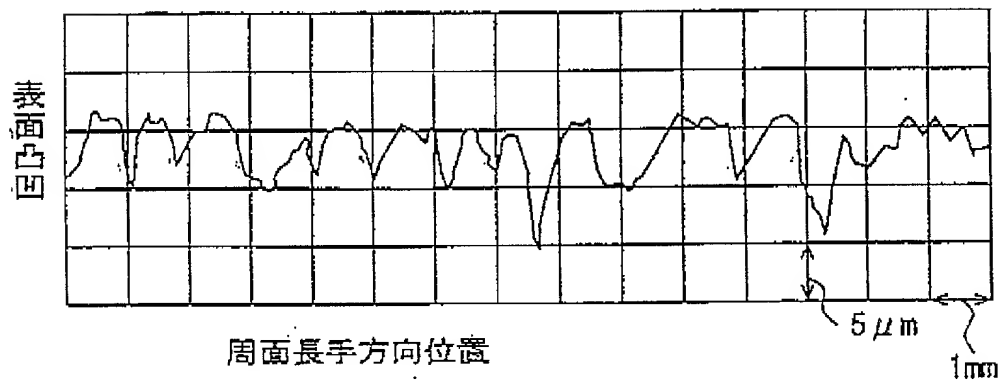


Fig. 19

Surface asperities

Position on peripheral lens surface in longitudinal direction

T03260-SE249660

12

12

整理番号=PY20002506

提出日 平成13年 2月16日

頁: 5/ 5

(図9)

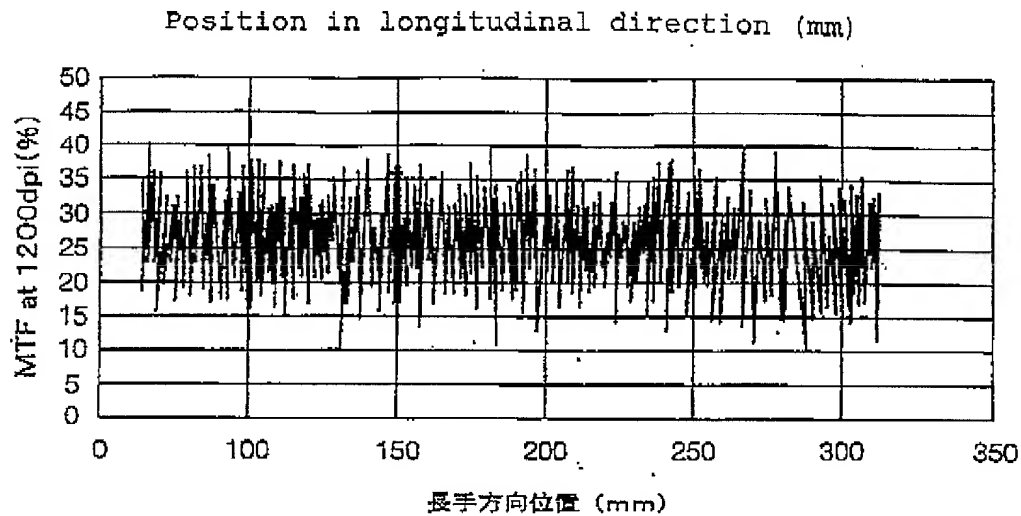


Fig. 20

(図10)

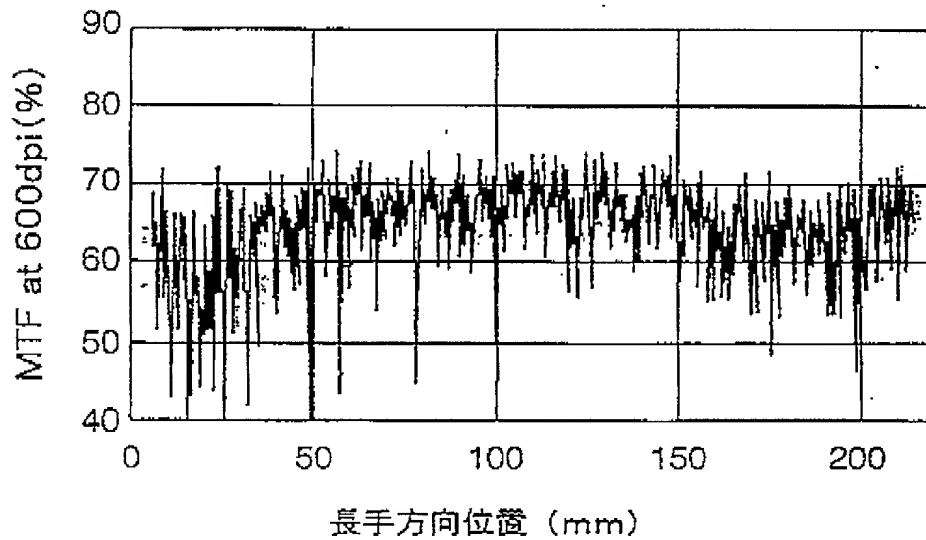


Fig. 21

Position in longitudinal direction (mm)

T08260-SE49660

FOB260" 5E/43650

中心線平均粗さ(Ra)の定義

$$Ra = 1/L \times \int_0^L |f(x)| dx$$

ただし、  
 中心線をX軸にとり、  
 粗さ曲線を f(x)とする。

ここで中心線は

$$\int_0^L f(x) dx = 0$$

の条件より決定する。

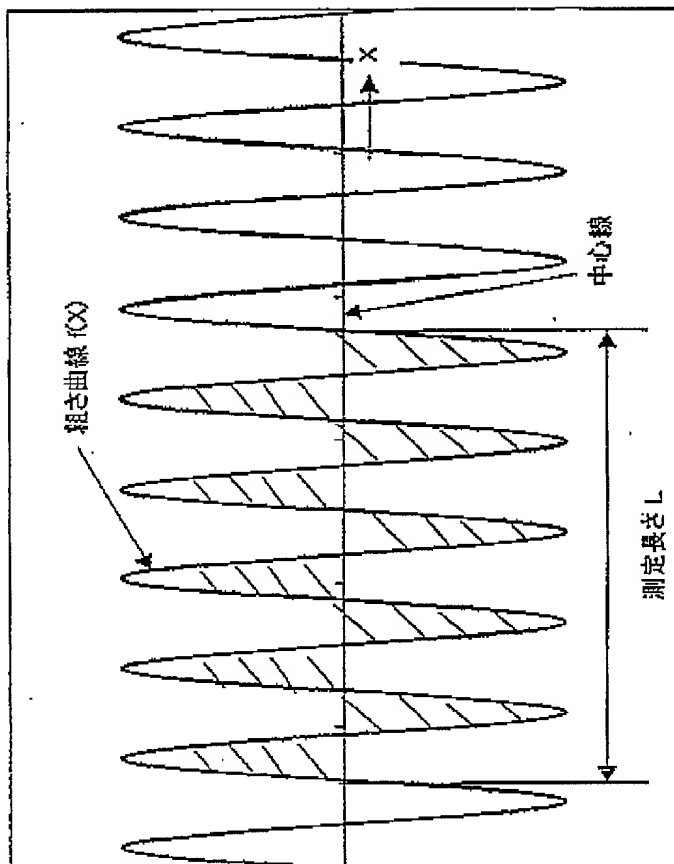


Fig. 22

Fig. 22

Center-line-average roughness (Ra) defined as:

$$Ra = 1/L \times \int_0^L |f(x)| dx$$

provided that the center line is taken on the X-axis and

determined from  $\int_0^L f(x) dx = 0$ , where  $f(x)$  is the roughness curve.

Roughness curve  $f(x)$

Sampling length  $L$

Center line

108260" 3E/49660